

С. Х. АЙТЬЯН, член-корреспондент АН СССР В. Г. ЛЕВИЧ,  
В. С. МАРКИН, Ю. А. ЧИЗМАДЖЕВ

## ОБОБЩЕННАЯ МОДЕЛЬ ИОННОГО ТРАНСПОРТА ЧЕРЕЗ ИСКУССТВЕННЫЕ ФОСФОЛИПИДНЫЕ МЕМБРАНЫ

В предыдущих работах, посвященных теории ионного транспорта через искусственные фосфолипидные мембранны, были исследованы модель переносчиков (<sup>1</sup>) и эстафетная модель (<sup>2</sup>). В модели переносчиков предполагалось, что в мембране содержатся некоторые подвижные ионы  $T$  с зарядом  $Z_T$ , которые могут присоединять из раствора электролита, окружающего мембрану, ион  $A$  с зарядом  $Z_A$ , образуя ион  $L = AT$  с зарядом  $Z_L = Z_A + Z_T$ . Все заряды выражены в единицах заряда протона.

Далее, ион  $L$  под действием электрохимического градиента может двигаться от одной границы мембраны к другой, отдавая там ион  $A$  в раствор, а переносчик  $T$  возвращается обратно.

В модели эстафеты предполагалось, что перенос заряда через мембрану осуществляется при помощи обмена между неподвижными частицами  $T$  и ионом  $A$ .

Как в модели переносчиков, так и в модели эстафеты предполагалось, что ионы  $T$  и  $L$  могут проходить через границу мембраны, на которой идут следующие реакции:

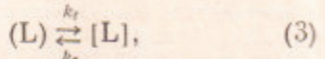
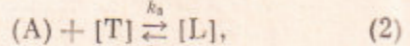
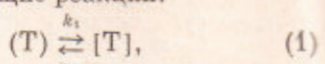


Рис. 1. *a* — обобщенный механизм ионного транспорта через мембрану; *б* — эквивалентная схема

где круглые скобки означают концентрацию соответствующего вещества в растворе, а квадратные — в мембране.

В настоящей обобщенной модели рассматривается прохождение электрического тока через мембрану в результате прямого прохождения частиц  $T$ , эстафетных перескоков ионов  $A$  и переноса  $A$  в ходе действия механизма переносчиков, причем в мембране ионы  $T$  и  $L$  могут располагаться только на границе в некоторых потенциальных ямах. В каждой яме может находиться только один ион. Попасть же в яму ионы могут только при условии, что эта яма вакантна. Кроме того, ионы  $T$  и  $L$  могут перескочить из ямы на левой границе в противолежащую яму на правой границе, конечно, при условии вакантности последней, и наоборот. Если же в двух противолежащих ямах находятся соответственно ионы  $L$  и  $T$ , то они могут

обменяться частицей А. Перескоки ионов Т, Л и А происходят соответственно с частотами  $v_T$ ,  $v_L$  и  $v_A$  (рис. 1). Число ям на каждой границе ограничено и равно  $N$  на единицу площади мембранны.

Вероятность заполнения одной ямы ионами Т и Л равны соответственно  $\theta_T$  и  $\theta_L$ . Если на мембрану наложить разность потенциалов  $\phi$ , то в ней произойдет перераспределение зарядов в ямах. Заряды левой и правой границы, отнесенные к единице поверхности мембранны, будут равны

$$q^a = Ne[Z_T \theta_T^a + Z_L \theta_L^a], \quad (4)$$

$$q^n = Ne[Z_T \theta_T^n + Z_L \theta_L^n], \quad e — заряда протона, \quad (5)$$

где индексы л и н обозначают, что величина берется соответственно на левой или правой границе.

Внешняя разность потенциалов  $\phi$  разбивается на три части (рис. 1).  $\varphi_1$  и  $\varphi_3$  представляют собой падение потенциала на границах мембранны в двойных электрических слоях, а  $\varphi_2$  — падение потенциала в объеме мембранны. Падение потенциала  $\varphi_1$ ,  $\varphi_2$  и  $\varphi_3$  происходит соответственно на емкостях  $C_1$ ,  $C_2$  и  $C_3$ .  $C_1$  и  $C_3$  представляют собой емкости границ раздела мембрана — электролит, а  $C_2$  — емкость самой мембранны. Каждый из перечисленных участков обладает также и активным сопротивлением  $R_1$ ,  $R_2$  и  $R_3$  соответственно. Поэтому всю мембрану можно представить в виде эквивалентной схемы, изображенной на рис. 1.

Вычислим ток через мембрану. Рассмотрим симметричный случай, т. е.  $R_1 = R_3$ ,  $C_1 = C_3$ . Полный ток через единицу поверхности мембранны равен

$$I = \frac{C_1 C_3}{C_1 + 2C_2} \frac{d\phi}{dt} + (I^a + I^n) \frac{C_2}{C_1 + 2C_2} + I^m \frac{C_1}{C_1 + 2C_2}, \quad (6)$$

где  $I^a$ ,  $I^n$  и  $I^m$  — ионные токи, текущие соответственно через левую, правую границу и саму мембрану, отнесенные к единице поверхности. Первый член в правой части равенства (6) представляет собой ток, идущий на зарядку всей мембранны в целом. Остальные члены представляют собой вклады в полный ток соответствующих частей мембранны

$$\begin{aligned} I^a &= e[Z_T j_T^a + Z_L j_L^a + Z_A j_A^a], \\ I^n &= e[Z_T j_T^n + Z_L j_L^n + Z_A j_A^n], \\ I^m &= e[Z_T j_T^m + Z_L j_L^m + Z_A j_A^m], \end{aligned} \quad (7)$$

где  $j_m^n$  означают потоки соответствующего вещества через соответствующий участок мембранны:

$$j_T^a = k_1(T) N (1 - \theta_T^a - \theta_L^a) \exp(-1/2 Z_T \beta \varphi_1) - k_2 \theta_T^a N \exp(-1/2 Z_T \beta \varphi_1); \quad (8)$$

$$j_A^a = k_3(A) \theta_T^a N \exp(-1/2 Z_A \beta \varphi_1) - k_4 \theta_L^a N \exp(-1/2 Z_A \beta \varphi_1); \quad (9)$$

$$\begin{aligned} j_T^n &= v_T \theta_T^n N [1 - \theta_T^n - \theta_L^n] \exp(-1/2 Z_T \beta \varphi_2) - v_T \theta_T^n N [1 - \theta_T^n - \theta_L^n] \cdot \\ &\quad \cdot \exp(-1/2 Z_T \beta \varphi_2); \end{aligned} \quad (10)$$

$$j_A^n = v_A \theta_L^n \theta_T^n N \exp(-1/2 \beta Z_A \varphi_2) - v_A \theta_L^n \theta_T^n N \exp(-1/2 \beta Z_A \varphi_2), \quad (11)$$

где  $\beta = e / kT$ .

Остальные потоки выражаются аналогично. Разделение потенциала  $\phi$  на части зависит от перераспределения зарядов и от электрических параметров мембранны и выражается следующим образом:

$$\varphi_1 = \varphi C_2 / (C_1 + 2C_2) - q^a (C_1 + C_2) / C_1 (C_1 + 2C_2) - q^n C_2 / C_1 (C_1 + 2C_2); \quad (12)$$

$$\varphi_2 = \varphi C_1 / (C_1 + 2C_2) + q^a / (C_1 + 2C_2) - q^n / (C_1 + 2C_2); \quad (13)$$

$$\varphi_3 = \varphi C_2 / (C_1 + 2C_2) + q^a C_2 / C_1 (C_1 + 2C_2) + q^n (C_1 + C_2) / C_1 (C_1 + 2C_2), \quad (14)$$

Изменения чисел заполнения ям в мембране определяются из законов сохранения:

$$N d\theta_T^n / dt = j_T^n - j_A^n - j_L^n + j_A^n; \quad (15)$$

$$N d\theta_L^n / dt = j_L^n + j_A^n - j_L^n - j_A^n; \quad (16)$$

$$N d\theta_T^n / dt = j_T^n - j_A^n - j_T^n + j_A^n; \quad (17)$$

$$N d\theta_L^n / dt = j_L^n + j_A^n - j_L^n - j_A^n. \quad (18)$$

Пусть разность потенциалов, наложенная на мембрану, изменяется гармонически во времени  $\varphi = \varphi_0 e^{i\omega t}$ . Тогда в стационарном режиме все величины изменяются по тому же гармоническому закону. Решая уравнения (15) — (18) при условии малости поля, найдем зависимость тока, протекающего через мембрану, от напряжения

$$I = B\varphi, \quad (19)$$

где  $B$  — полный адmittанс мембраны. Поскольку общая формула для адmittанса в этой модели имеет очень сложный вид, мы не будем ее приводить здесь полностью, а исследуем только высокие частоты.

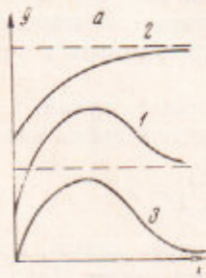


Рис. 2

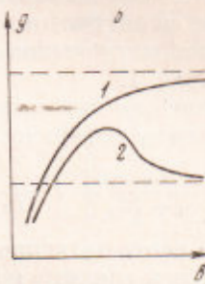


Рис. 3

Рис. 2. Случай отсутствия входного канала  $L$ .  $a$  — зависимость проводимости от концентрации ионов  $A$  при  $v_A \gg v_T, v_L$  (1),  $v_A \ll v_T, v_L$  (2) и  $C_1 \gg C_2, v_A \gg v_T, v_L$  (3);  $b$  — зависимость проводимости от полной концентрации ионов  $T$  при  $v_A \gg v_T, v_L$  (1) и  $v_A \ll v_T, v_L$  (2)

Рис. 3. Случай отсутствия входного канала  $A$  и внутренних каналов  $L$  и  $T$ .  $a$  — зависимость проводимости от концентрации ионов  $A$ ; общий случай (1) и случай  $C_1 \gg C_2$  или  $k_1 \sim 0$  (2);  $b$  — зависимость проводимости от полной концентрации ионов  $T$

Случай низких частот (постоянный ток) был рассмотрен в работе Брунера (3). Кроме того, из работ (1, 2) известно, что для диагностики транспортного механизма наиболее интересен высокочастотный предел.

Емкость мембраны, как и следовало ожидать, равна геометрической емкости

$$C = C_1 C_2 / (C_1 + 2C_2). \quad (20)$$

Проводимость мембраны записывается в виде

$$g = \beta \frac{C_1^2 e}{(C_1 + 2C_2)^2} [v_A Z_A^2 \theta_T^0 \theta_L^0 N + v_T Z_T^2 \theta_T^0 N (1 - \theta_T^0 - \theta_L^0) + \quad (21)$$

$$+ v_L z_L^2 \theta_L^0 N (1 - \theta_T^0 - \theta_L^0)] + 2\beta \frac{C_2 e}{(C_1 + 2C_2)^2} [z_T^2 k_2 \theta_T^0 N + z_A^2 k_4 \theta_L^0 N + z_L^2 k_6 \theta_L^0 N],$$

где  $\theta_T^0$  и  $\theta_L^0$  — равновесные числа заполнения. Выражения для них имеют вид:

$$\theta_T^0 = k_1 k_5 \zeta b / [k_2 k_4 (\zeta + A) + k_1 k_5 \zeta b + k_1 k_3 \zeta b A], \quad (22)$$

$$\theta_L^0 = k_1 k_5 A \zeta b / [k_2 k_4 (\zeta + A) + k_1 k_5 \zeta b + k_1 k_3 \zeta b A], \quad (23)$$

$$k_2 k_4 k_5 / k_1 k_3 k_6 = \zeta, \quad (24)$$

где  $b$  — полная концентрация ионов  $T$  в растворе электролита, омывающем мембрану, а  $\zeta$  — константа диссоциации иона  $L$ .

I. Рассмотрим случай, когда входной канал L отсутствует, т. е.  $k_L = k_e = 0$ . Исследуем зависимость проводимости от концентрации ионов A и полной концентрации ионов T в растворе электролита. Исследование этой зависимости показывает, что ход кривой  $g$  существенно зависит от соотношения между скоростями перескоков:  $v_T, v_L, v_A$  (рис. 2а). Если преобладает эстафета, т. е.  $v_T, v_L \ll v_A$ , то с повышением концентрации A в растворе проводимость начинает расти, но при больших A все ямы уже заняты ионами L, и проводимость падает, проходя при каком-то значении A через максимум (рис. 2а, кривая 1) \*. Если же  $v_A \ll v_T, v_L$ , то внутри мембранны работают только переносчики, и проводимость монотонно зависит от A и имеет вид кривой 2 рис. 2а.

Зависимость  $g$  от полной концентрации ионов T показана на рис. 2б. Действительно, с повышением полной концентрации T в случае эстафеты, т. е.  $v_A \gg v_T, v_L$  (кривая 1 рис. 2б), проводимость растет, так как она существенно зависит от наличия в мембране ионов T, но, ввиду ограниченного числа ям, при  $b \rightarrow \infty$  проводимость выходит на константу. В случае же переносчиков, т. е.  $v_A \ll v_T, v_L$ , зависимость проводимости  $g$  от  $b$  имеет вид кривой 2 рис. 2б. Возрастая при малых  $b$ , проводимость выходит на константу при больших  $b$ , проходя при каком-то значении  $b$  через максимум.

II. Рассмотрим другой частный случай, когда на границе мембранны работают входные каналы T и L, т. е. на границе работают переносчики, а на внутренней стадии определяющим каналом является эстафета. По-прежнему будем рассматривать высокие частоты.

Исследуем зависимость проводимости в этом случае от концентрации ионов A и полной концентрации ионов T в растворе. Используя выражения (22)–(24) и подставляя полученные выражения в (21), находим, что проводимость с ростом концентрации A изменяется, проходя через максимум (рис. 3). При этом, если  $Z_T^2 k_2 k_2 \zeta / (k_2 + k_1 b) > Z_L^2 k_3 k_6 / (k_6 + k_5 b)$ , то проводимость при больших A меньше, чем при малых, если же  $Z_T^2 k_1 k_2 \zeta / (k_2 + k_1 b) < Z_L^2 k_3 k_6 / (k_6 + k_5 b)$ , то наоборот. Это объясняется тем, что на малых и больших концентрациях A внутренняя эстафетная стадия вклада в общий ток не дает. При малых концентрациях главенствующую роль играет перенос через границу ионов T, а при больших L. Поэтому проводимость имеет вид рис. 3а. Если же пренебречь вкладом поверхности стадии в общий ток, что равносильно предположению  $C_1 \gg C_2$  или  $k_1 \sim 0$ , то кривая 1 рис. 3а переходит в кривую 2 того же рисунка.

Рассмотрим теперь зависимость проводимости от полной концентрации ионов T в растворе. Используя выражения (22)–(24), находим, что эта зависимость имеет вид, показанный на рис. 3б. Это понятно, так как при увеличении концентрации  $b$  активируются как переносчики на границе, так и эстафета в толще мембранны.

Институт электрохимии  
Академии наук СССР  
Москва

Поступило  
12 III 1970

#### ЦИТИРОВАННАЯ ЛИТЕРАТУРА

\* В. С. Маркин, Л. И. Кришталик и др., Биофизика, 14, 258 (1969); В. С. Маркин, В. Ф. Пастушенко и др., Биофизика, 14, 462 (1969); В. С. Маркин, Молек. биол., 3, 610 (1969). <sup>2</sup> Ю. А. Чиамаджев, В. С. Маркин, Р. Н. Куклин, Биофизика, № 6 (1970). <sup>3</sup> L. J. Vringer, Biophys., 6, 241 (1970).

\* Причем, если  $C_1 \gg C_2$ , то кривая 1 рис. 2а переходит в кривую 3 рис. 2а. Это объясняется тем, что при малых и больших концентрациях A в растворе тока через мембранны в этом случае не будет, т. е. работает только эстафетный перенос.